鉄筋コンクリートはリの疲労性状におよばす水の影響に関する一実験 V - 153

立命館大学大学院 前岡 降期 学生員 阪神高速道路公団 義久 正員 水元 児島 孝之 **丁命館大学理厂学部** E

1 はしめに: 道路櫓鉄筋コンクリート床版において、コンクリート の乾燥収縮その他の原因によって生じた初期欠陥が通行車両の繰返し載 荷を分けろことにより損傷が進行すると考えられる。このような損傷床 版の観察によれば亀甲状のひびわれから遊離石灰の発生がみられる場合 が多く、雨水が床版に発生したひびわれの進展に何らかの形で寄与して いるものと思われる。本研究は、気中および水中疲労試験を実施し疲労 性状におよぼす水の影響について検討を行なったものである。



2. 実験概要: セメントには早強ポルトランドセメント、細骨材には野

洲川産川砂、粗骨材には高槻産酔石を使用した。示方配合を表-1に示す。主鉄筋にはD16を、組立て筋およびスターラップには

1	Air (%)	Slump (%) 7.5±1	W/C (%)	S/a (%)	W (kg)	C (kg)	S (kg)	G (kg)
d	4.5±1	7.5±1	50	42	167	334	741	1069
				1		Catalon		

裹-1 示方配合

ゆ9を使用した。供試体の鉄筋比は1.3%である。 供試体の形状寸法および測定位置を図-1に、鉄筋 型し、恒温恒湿室にて1ヵ月湿布養生を行なった後

プラグ 1100 供試体の形状寸法 [mm]

2ヶ月開室内に放置し村今3ヶ月で実験を開始した。供試体 の載荷はスパン 180cm、曲げスパン30cm、 2/4 3.75の対称2 点載荷とした。静的および気中変労試験は実験室内、水中変

	降伏点荷重 (kg)		降伏点 (kg/mm ²)	引張荷重 (kg)	引張強さ (kg/mm ²)	伸び率 (%)
D16	8	780	44.2	14 140	71.2	19
ø 9	2	240	36.1	2 980	48.2	33

労試験は写真-1に示すように水漕内にて行なった。気中 疲労試験では気軽状態にある供試体似下、気乾はりと称す Y、水中衰労試験では試験前10日間前後水浸状態におき湿 理状態にある供試体以下、湿潤はりと無力を使用した。な湿潤/気乾

ヤング係数 圧縮筛度 (kg/cm²) (x10⁵kg/cm² (kg/cm²) kg/cm2) 3.66 気乾はり 36.3 58.4 518 湿潤はり 54.3 32.0 3.58 0.88 0.88 0.93 静的試験結果

LE DNO

お、気中、水中試験での支持条件に差がないように同一の支承を用いた 疲労試験に先だち、静的試験を気乾はりと湿潤はり各々1本づつ気中にToad て実施した。気中および水中疲労試験の上限荷重は、気乾はり静的試験 vield ultimate

Static test All of beams Air Water 1.75 2.00 first cr 90 8.80 [t]

磁端回数

破壞位置

F.S ***

S.S.***

P.S.

S.S.

F.S.

F.S.

S.S.

S.S.

F.S.

F.S.

S.S.

破壞型式

S

S

S

S

S

C**

における鉄筋降状荷車に対する75%、70%および65%の3段階と した、下限荷車は、試験機の桝能とすべて1.0(t)とした。繰返し 載荷速度は375Hz、荷重Y時間の関係は正弦波型である。

235 700 Air 274 250 2 75 73 700 1 Water 153 400 288 400 Air 244 800 70 264 300 Water 433 600 731 300 Air 605 200 2 492 700 489 100

上版荷重比 頭塊条件

3. 実験結果および考察: コンクリートの諸強度を表-3に示 す。圧縮、曲げ、引張強度ともに湿理状態の供流体は気軽状態の 供試体に比べて1~2割低下するが、ヤング係数において差はみ られない。表一4に静的試験結果を示す。ひびわれ発生荷重は気 乾はりに比べて湿潤よりが1(t)近く上まっているが、これは湿潤 膨張の影響と思われる。降伏荷重、終局荷重においては面者の間 に明確な差は認められなかった。表-5に疲労試験結果を示す。

S*:鉄筋疲労破断型 C**:せん断圧路破壊に似た型式 S.S.****:せん断スパン

気乾はりと湿潤はりの気中疲労試験と水中疲労試験の破壊状況に は極めて顕著な差がみられた。気中疫労試験では静的載荷で発生の した曲げひびわれが繰返し回数に伴い進展し、曲げスパン内でのコ 鉄筋の疲労破断によって破壊した。一方、木中疫労試験では曲げる ひびわれの進展に比べてせん断スパンの斜めひびわれが異常に成 長し、上限荷重比75%の高応力レベルでは2本ともせん断圧縮破点50 壊に似た型式であった。また上限応力レベル70%、65%の供試体 4本はせん断スパンの鉄筋の疲労彼断によって破壊した。せん断 スパンの斜めひびかれの発達については、動的戯荷開始と同時に 静的載荷によって生じたひびわれより匆量の微粒子の噴出 がみられた。この現象が斜めひびわれの著しい成長を促し たものと思われる。なお、噴出する微粒子は繰返し回数1 万回までは極めて多量であるが、それ以後は極微量となる。

図-2にS-N線図を、表-6にS-N線式を示す。S-N

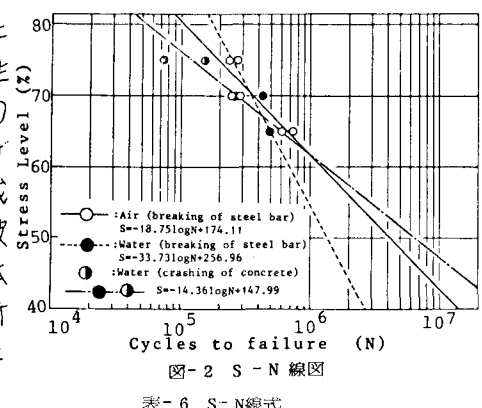


表-6 S-N線式

	回帰直線式	200万回疫労強度
気中疲労 (Air)	S=-18.75logN+174.11	56.0%
水中疲労 (Water)	* S=-33.73logN+256.96	44.47
	** S=-14.36logN+147.99	57.5%

**: 75%を含めた場合

線図の作製に当って は、各応カレベルで の破壊回数の平均値 を採用した。水中疲 労試験にないてせん 断圧縮破壊にひた型 式で破壊した75%の データを除外した場 合介200万回疲労強 度は、気中疲労56%、 木中疲労4%とかな

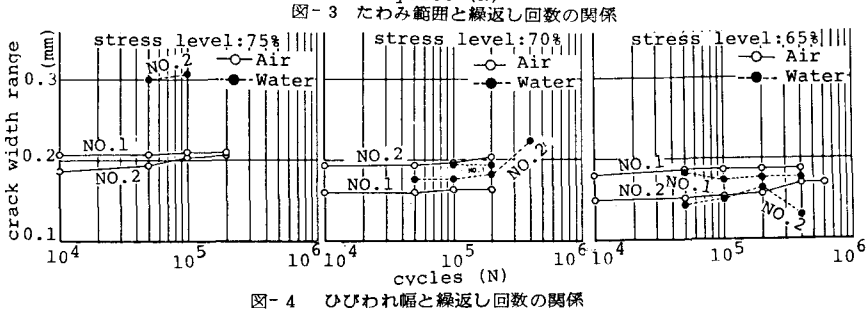
り差がみられた。し

ガレ、本研究では供

level:75% stress level:70% 500 -o-Air Water 400 No.1 g 400 350 flect 058 106 104 104 10 10 cycles (N) 図-3

*:75%を徐いた場合

試体本数も少なくデータ のばらつきを考慮すると go.3 鉄筋の疲労破断で破壊す♬ る場合には環境条件によ る疲労寿命、疲労強度に 差はないものと思われる。 せん断圧縮破壊に似た形



式で破壊した湿潤はりは、湿潤狀態にあることによるコンクリート強度の低下が原因となり疲労寿命が短くなっ たものと思われる。図-3はたわみ範囲に限荷重時と下限荷重時のたれみの街と繰返し回数の関係を示したもの て"あるが、湿潤はりは繰返し回数とともにたわみが増加する傾向が極めて著しい。図-4 に曲げスパン内のひび **われ幅と繰返し回数の関係を示す。気中かよび水中はりの繰返し回数のよる顕著な差はみられず、曲げスペン内** の剛性には永の影響はほとんどないものと考えられる。したがって、湿潤はりの繰返し回数にともなり剛性低下 はせん断スパンの異常な斜めひびわ此の発生に起因するものと考えられる。最低級は協能解析分清氏性感謝の意味します。